



**ARTINFO / MUSINFO**

## NOTE DE L'ÉDITEUR

ARTINFØ/MUSINFØ, en dépit des rumeurs les plus alarmistes, continue sa carrière souterraine, dont témoigne cette dernière livraison.

Plus erratique que jamais dans sa période, il n'en est pas moins juteux, voyant même tel de ses articles honoré d'une traduction dans une luxueuse revue étrangère.

Aujourd'hui encore, de la musique à pleins bras :

- \* Gilbert DALMASSO, enseignant en informatique musicale, présente un programme compositionnel : Quatre Etudes et Variations. Il supervise aussi le numéro.
- \* Patrick BUDA, étudiant dans la même matière, fait chanter avec JIG l'ordinateur entre herbe et brume.
- \* Quant au troisième texte, c'est celui d'une conférence qu'André RIOTTE, autre enseignant, donna naguère au CEMAMu, et qui était miraculeusement restée inédite. Que le lecteur fasse ses choux gras de l'analyse.

Le Groupe Art et Informatique de Vincennes, pour sa part, poursuit une vie secrète et exaltante. Parmi ses derniers coups d'éclat, une exposition à la galerie Plages, un show aux Portes de la Suisse (juin 79), une exposition, des conférences et un concert au Centre Culturel Suédois (octobre 79). Tout se passe comme prévu.

J.A.

# UN MODÈLE INFORMATIQUE D'UNE PIÈCE DE STRAVINSKY

ANDRÉ RIOTTE

ARTINFO/MUSINFO #29

Développements formels autour d'un  
modèle informatique d'une pièce de  
Stravinsky

On a démystifié naguère la série schönbergienne et ses descendants, sans y reconnaître pourtant sa seule fonction justifiée : la génération d'une séquence d'objets (et de rapports d'objets) musicaux située entre l'ordre élémentaire et l'inorganisé, où se loge déjà l'intention (1). Or, une suite bornée de nombres au hasard possède elle aussi des lacunes, des ébauches d'ordre sans lesquelles aucun joueur ne serait chanceux.

Reconnaître ces lacunes, distinguer ces ébauches et les accuser selon sa propre nature suppose l'intuition du support partiel de quelque schème intérieur (les vieux murs fascinaient Léonard de Vinci). L'improbabilité de sa mise à jour est compensée par le foisonnement d'hypothèses, concentré de messages potentiels inactifs. Au niveau d'un langage musical, on pourrait définir une approche équivalente, du type "pausa del disordine" ou suspension partielle du désordre.

Elle n'a de sens que spécifique à celui qui la conçoit, c'est-à-dire issue d'une intuition individuelle; les lois du contrepoint ni telle formule de la physique n'y peuvent suffire.

Tout choix étant une coupure dans une arborescence, reste l'autre attitude : organisation de ruptures au sein d'un milieu très ordonné (minéral), d'incursions de conscience dans une matière inerte. C'est alors la rupture partielle d'un ordre pour répondre à un niveau d'ordre plus élevé.

---

(1) Voir "Il nanosecondo ben temperato" A. Riotte - Rivista IBM 2/1969.

Encore fallait-il définir un langage de concaténation, dont la description sera faite ailleurs.

On s'intéressera ici à cette seconde approche, plus proche de l'imprégnation dionysiaque que de l'intrusion apollinienne. La théorie de l'information a mis à jour la relation entre le taux de redondance d'un message et sa communicabilité. Or il existe une organisation musicale qui met à nu cette redondance : c'est la répétition simultanée de motifs de durées différentes mais commensurables.

Olivier Messiaen a utilisé abondamment cette technique et ses dérivés (2). On la retrouve même, sous une forme plus cachée, dans le *Soleil des eaux* de Pierre Boulez (3).

Etant donné les potentialités d'un modèle informatique issu de cette technique, pour peu qu'il soit suffisamment élaboré, il m'est apparu utile de pousser l'analyse de l'une des premières partitions qui, à ma connaissance, exploite consciemment ce principe : la première des trois pièces pour Quatuor à Cordes d'Igor Stravinsky (4), qui datent de 1914.

Je n'aurais pas entrepris la description détaillée de cette analyse, qui en serait restée aux constatations élémentaires de rencontres entre phénomènes périodiques, si des travaux personnels de composition (5) ne m'avaient fourni la clef de la structure de la mélodie du 1er violon qui en constitue l'élément monodique essentiel.

C'était l'occasion de jeter les bases d'un modèle d'engendrement mélodique dont les résultats ne portent plus trace d'automatisme.

D'autre part, le pénétrant travail de Patrick Greussay (6) sur une très courte pièce de Bela Bartok m'a persuadé qu'il était plus fructueux pour des travaux futurs sur ordinateur d'approfondir à l'extrême une structure limitée que de s'en tenir à des considérations globales sur des constructions de plus grande envergure.

L'analyse qui suit procédera donc de plusieurs niveaux d'approche successifs puis simultanés réagissant les uns sur les autres :

- un niveau de simple observation des phénomènes mis en jeu, dégagant des interprétations possibles -non nécessairement exclusives entre elles- du découpage du texte;

---

(2) Voir les exemples du chapitre VI - Polyrythmie et pédales rythmiques dans *Technique de mon langage musical* - Olivier Messiaen. Leduc 1964

(3) 1er poème : complainte du lézard amoureux, chiffre 6 de la partition Heugel 1959

(4) Editeur-propriétaire Boosey et Hawkes

(5) Suite explicite pour Clarinette seule - A. Riotte

(6) Un modèle informatique de description de structures musicales - Communication personnelle.

- un niveau de rationalisation de ces observations, lié aussi bien aux proportions de l'oeuvre elle-même qu'à la structure fine du langage, qui implique des hypothèses globales, hypothèses dont l'économie et les potentialités justifieront le choix;
- enfin, un niveau de spéculation, de construction d'un modèle qui utilisera les hypothèses retenues en vérifiant leur portée et leurs liens pour la description du texte choisi.

On abordera ci-dessous ces trois niveaux, en montrant chaque fois qu'il sera possible les conséquences ou les raisons des choix et décisions non explicites de l'auteur.

# I. Analyse formelle.

## Observations élémentaires sur la forme globale de la pièce

Une première écoute met en évidence le caractère répétitif des éléments du discours; quatre événements s'y distinguent aussitôt, soit en allant du simple au complexe

- une note tenue, le ré, émise par l'alto du début à la fin, analogue à la pédale obligée de certains instruments folkloriques
- une pédale rythmique et harmonique à base 7 noires confiée au violoncelle et à l'alto (corde de ré) et répétée 14 fois. (figure 1)
- une apostrophe monodique énoncée par le second violon, formée d'un motif conjoint descendant de 4 notes présenté alternativement une seule fois (apostrophe proprement dite) et deux fois successives (apostrophe-écho) avec 2 articulations distinctes (tiré et poussé) (figure 2).  
Chaque apparition du motif est séparée de la suivante par des silences variables, mais on observe déjà que les apostrophes-échos sont cycliques à base 21 noires
- une mélopée confiée au 1er violon, construite sur un mode défectif de 4 notes conjointes, cyclique à base 23 noires, répétée 4 fois intégralement et une fois partiellement avec modification finale (figure 3).

La mélopée est une phrase formée d'un antécédent A et d'un double conséquent B.B', B' issu de B par ajout de 2 valeurs à gauche.

L'antécédent est formé de la succession d'un rythme masculin et d'un rythme féminin, avec accent expressif sur la syncope et redoublement de l'accent tonique et de la désinence.

Le conséquent B commente le rythme féminin, sans répétition de l'accent tonique; quant à B', tout en conservant la structure rythmique de B, il transforme le rythme féminin en masculin, par recouvrement de la désinence avec le premier son de la phrase suivante.

D'autre part, les durées (A : 11 J, B : 6 J, B' : 6 J) postulent à la fois une alternance binaire et ternaire de temps forts dans A, et une alternance seulement binaire dans B et B', mais avec un décalage

d'une unité (♩) entre B et B' dû à la valeur ajoutée à gauche de B'. Cette première analyse sommaire indique déjà la prépondérance de A sur B et B', qui ne font par ailleurs qu'exploiter certains aspects fragmentaires de A.

Enfin, le caractère répétitif des événements définit une trame harmonique verticale de 12 sons répartis en 3 groupes de 4 sons formant un mode de 9 notes. Les références à la tonalité de sol majeur sont évidentes : poids du sol faisant fonction de tonique dans la mélodie, pédale de ré évoquant la dominante, extrémités de la trame à la sous-dominante.

#### Retour sur la durée de la pièce

Etant donné la durée de base de la mélodie (23 ♩) et le cycle de base de l'apostrophe-écho (21 ♩), il s'agit de déterminer les raisons du choix du sous-ensemble de rencontres retenues (4 pour l'apostrophe-écho, 5 pour l'apostrophe) parmi les possibles, la chaîne complète comportant évidemment 21 répétitions de la mélodie et 23 de l'apostrophe-écho.

D'après les observations précédentes sur la structure de la mélodie, et si l'on accepte pour l'instant l'initialisation (temps 19) de l'apostrophe-écho, on observe (figure 4) qu'étant donné son taux de glissement (2 ♩ à gauche) par rapport à la mélodie, seules les 4 interventions cycliques retenues n'interfèrent pas avec l'antécédent A.

C'est donc sur A, qui porte la substance mélodique, comme le montrera plus loin une analyse fine de la mélodie, que devront intervenir les apostrophes irrégulières. De même que B et B' ne sont que des commentaires de A, l'apostrophe-écho régulière (commentaire redondant et affaibli de l'apostrophe de par sa régularité même) n'intervient que sur BB'.

On observe d'autre part que, comme B et B' ont la même durée (6 ♩), mais que B' est identique à B à une ajoute initiale près de 2 ♩ = 1 ♩, son dernier accent se résolvant sur le premier temps du A suivant, les interventions de l'apostrophe-écho sont décalées d'une ♩ entre B et B' et épuisent les interférences possibles.

### Analyse de la pédale rythmique, interférences avec l'apostrophe

On a vu (figure 1) que la pédale rythmique n'utilisait que 2 unités de durée, la ♩ et la ♪. Les 3 mots de l'alphabet employé pour la constituer sont  $x_1$ ,  $x_2$  et  $x'_1$  (figure 5). On note d'abord que le groupe de base  $x_1 x_2$  est issu rythmiquement de la tête de la mélodie. La pédale rythmique P peut alors être complètement décrite par la concaténation :

$$P = (x_1 x_2 x'_1 x_1 x_2 x_1 x_2)^m$$

Soit d'autre part a le mot de base de l'apostrophe (4 ♩), l'apostrophe-écho peut alors s'écrire a'a. Si l'on exprime les groupements de mots distincts de la pédale qui peuvent coïncider en durée avec a ou a' on trouve :

$$x_1 x_2 = r, \quad x_2 x'_1 = p, \quad x'_1 x_1 = q, \quad x_2 x_1 = s \text{ (figure 7)}$$

Les positions relatives de a et a'a avec la pédale rythmique dans le texte (figure 6) montrent clairement le phénomène : le terme a de l'apostrophe exploite les rencontres avec p, q et r dans l'ordre indiqué sur la figure 7, alors que les figures a et a' de l'apostrophe-écho exploitent uniquement la rencontre s (2 fois à chaque apparition de aa').

p et s sont les figures les plus proches au do de la basse près; à cause du nombre de leurs occurrences (2 fois p; 4 fois 2 s) et de la position initiale de p dans le texte, on les considérera comme régulières. On constate maintenant que les déplacements de l'apostrophe correspondent, à l'intérieur de la période propre de la pédale rythmique (figure 8), aux 3 rencontres possibles non utilisées pour l'apostrophe-écho; à partir de la position de l'élément "régulier" p, ce sont de plus les déplacements minimaux possibles (+ 1 ♩ pour q, - 1 ♩ pour r). La position (r) non utilisée (figure 8) correspond à un déplacement de + 2 ♩ et recoupe la position s. En résumé, on peut considérer que les positions respectives régulières de l'apostrophe et de l'apostrophe-écho sont p et s; elles sont perturbées pour l'apostrophe par les rencontres avec la mélodie comme on le verra plus loin, mais à l'intérieur de 2 limites :

- a) elles doivent exploiter les variantes possibles distinctes de s, réservées à l'apostrophe-écho
- b) elles doivent être à des distances minimales en plus ou en moins par rapport à la position régulière p.



### Positions de l'apostrophe, interférences avec la mélopée

Une fois mises à jour les positions permises de l'apostrophe vis-à-vis de la pédale rythmique, restent à objectiver si possible les raisons de ses déplacements par rapport à sa position régulière.

On a déjà motivé le principe de ces déplacements : la première période de la mélopée est en effet la plus chargée d'information, celle au cours de laquelle des ruptures mélodiques se produisent (voir plus loin). C'est donc sur cette période qu'interviendront les positions les moins prévisibles de l'apostrophe.

Les 5 rencontres effectives sont rassemblées figure 9. On constate :

- que les déplacements en II et III de l'apostrophe proviennent de la nécessité qu'elle laisse à découvert la syncope, accent expressif de la mélopée
- que le déplacement en IV correspond à un refus d'identité rythmique apostrophe-mélopée (il faut au moins une différence, voir II).

D'autre part en II un déplacement de + 2 ♩ au lieu d'une

- identifierait la formulation avec I
- serait en contradiction avec la condition b) du paragraphe précédent
- mettrait l'apostrophe en position "s" avec la pédale rythmique, contradictoire avec la condition a).

De même, un déplacement de + 1 ♩ au lieu de - 1 ♩ identifierait la formulation avec III.

### Analyse et formalisation mélodique de la mélopée

On constate d'abord, étant donné les 4 notes formant le tétracorde employé

- une forte majorité d'intervalles conjoints à 3 exceptions près : 2 dans la 1ère période (tierce mineure descendante, tierce majeure descendante), une entre 2è et 3è période (quarte ascendante)
- l'exclusion de l'intervalle-unisson ou intervalle 0 (répétition de note).

En fait, si l'on considère que la formule conclusive de chaque période utilise uniquement l'oscillation entre sol et la, on peut dire que toute la substance mélodique est tirée de deux "noyaux"  $H_1$  et  $H_2$ , (figure 10) considérés comme des boucles fermées auxquelles on fait appel en séquence tant qu'une condition externe d'interruption n'est pas donnée, avec spécification d'initialisation lors de l'appel (voir plus loin les conditions d'initialisation).

On remarque au passage que  $H_2$  est extrait de  $H_1$ .

La description mélodique de la mélopée peut alors se formuler ainsi :

$$\text{MEL}(M) = \langle H_1(1, 4), H_1(2, 8), H_2(1, 5), H_1(6, 7), H_2(1, 3), H_1(4, 9), H_2(1, 2) \rangle$$

ou sous forme plus synthétique

$$\text{MEL}(M) = \langle H_i(k, R_j) \rangle$$

L'appel à  $\text{MEL}(M)$  devra simplement spécifier  $i = 1, 2$ , la valeur d'initialisation  $k$ , et la condition de rupture  $R_j$ .

### Formalisation rythmique de la mélopée

On a vu que chaque voix avait sa période propre (7 ♩, 21 ♩, 23 ♩) et que les interférences provenaient de la simple superposition des voix pour la mélopée et pour l'ensemble formé par la pédale rythmique et l'apostrophe-écho (lesquelles coïncident dans leurs rencontres, la période de la pédale rythmique étant un sous-multiple de celle de l'apostrophe-écho) alors que l'apostrophe subissait des déplacements soumis à un ensemble de conditions logiques

- de possibilité de positions vis-à-vis de la pédale rythmique
- de choix entre ces positions vis-à-vis de la mélopée.

Or, on peut appliquer le même type d'analyse à l'intérieur d'une période de la mélopée quant à sa structure rythmique. En effet, soient 3 groupes de durées  $D_0$ ,  $D_1$  et  $D_2$  (figure 11).  $D_0$  correspond à la tête de la mélopée,  $D_1$  à ses groupes conclusifs,  $D_2$  au corps des périodes de la manière suivante :

$D_0$ , de par sa fonction initiale, aura préséance sur les autres groupes et sera présenté une seule fois.  $D_1$  et  $D_2$  seront considérés comme les "moments émissifs" de phénomènes périodiques de périodes  $T_1 = 16 \text{ ♩}$  pour  $D_1$  et  $T_2 = 14 \text{ ♩}$  pour  $D_2$ .

Le complément de chaque durée émissive par rapport à la durée de la période sera une durée de silence (figure 12).

En ce qui concerne  $D_1$ , la dernière valeur étant aussi un silence (demi-soupir), on pourrait également la considérer comme faisant partie de la non-émission : toutefois une analyse de la structure interne de  $D_1$  indique qu'il est issu de la figure β de  $D_0$  (figure 11) par répétition et ajout d'un silence séparateur (β').

La seconde présentation de  $\beta'$  amène donc à inclure le séparateur dans la structure de  $D_1$ .

Quant à  $D_2$ , sa structure est également issue de  $D_0$  sous forme de 2 figures non utilisées pour  $D_1$  : la répétition  $\gamma$ , et la figure  $\alpha$  sous forme diminuée ( $\alpha'$ ). On remarquera au passage que  $\alpha$  et  $\gamma$  sont aussi les générateurs des 2 figures rythmiques de la pédale rythmique (figure 8 :  $\varepsilon_1 \equiv \alpha$ ,  $\varepsilon_2 = \gamma\alpha$ ) et des apostrophes (figure 2  $\delta_1 \equiv \gamma\gamma$ ,  $\delta_2 = \gamma\gamma\gamma\gamma$ ). Toute la substance rythmique de la pièce est donc issue de  $D_0$ .

Revenons aux lois de génération des durées de la mélodie :

d'après les fonctions définies pour  $D_0$ ,  $D_1$  et  $D_2$ , la tête  $D_0$  devra précéder immédiatement une présentation du corps  $D_2$ . Quant aux alternances de  $D_1$  et  $D_2$  prélevées sur la chaîne de leurs interférences possibles (figure 13) il est facile de voir qu'aucune combinaison commençant par  $D_2$  et se terminant par  $D_1$  ne peut coïncider avec la durée requise ( $23 \text{ ♩} = 46 \text{ ♩}$ ), la fin des  $D_1$  se plaçant toujours sur un nombre impair de croches. Quant aux combinaisons commençant par  $D_1$ , un seul prélèvement correspond au critère voulu (voir figure 13). On obtient donc la disposition de la figure 14; elle ne coïncide pas avec le début de la mélodie, ce qui se justifie pour 2 raisons :

- son caractère cyclique, qui la fait s'enchaîner sur elle-même
- le principe d'enchaînement de la fin de la mélodie avec son début, basé sur la double fonction du sol initial (résolution du dernier la de B' et première note de la tête).

Restent à définir les opérateurs d'interférences entre les processus  $D_0$ ,  $D_1$  et  $D_2$ .

On considèrera pour cette analyse 2 types d'interférences :

- le masque total, par lequel un processus ou un fragment de processus est interrompu si sa première valeur coïncide avec l'émission d'un autre processus. Exemple :  $MT(D_0 \rightarrow BD_1)$
- le masque local, par lequel un processus ou un fragment de processus en interrompt un autre pendant sa durée. Exemple :  $ML(D_0 \rightarrow D'_1)$ .

Il faut enfin préciser la hiérarchie d'action des opérateurs :

- 1°) MT agit en premier lieu;  $D_1$  étant la composante fondée sur une répétition de motifs, c'est elle qui devra subir - sur la dernière répétition, la seule littérale ( $BD_1$ ) - l'effet de masque total, les composantes masquantes étant  $D_0$  et  $D_2$ . On écrira :

$$D'_1 = MT(D_0, D_2 \rightarrow BD_1).$$

2°) ML agit ensuite dans l'ordre hiérarchique  $D_0, D_1$  pour les parties masquantes

$$D'_1 = ML(D_0 \rightarrow D'_1)$$

$$D'_2 = ML(D'_1 \rightarrow D_2)$$

3°) La résultante sera la superposition des transformées, qu'on écrira :

$$R = \sum (D_0, D'_1, D'_2).$$

### Initialisation des noyaux mélodiques de la mélopée

Il faut maintenant déterminer les hauteurs affectées aux durées des transformées.

On rappelle d'abord que la répétition de notes est à exclure de la résultante.

L'initialisation de  $D_0$  est  $H_1(1)$ .

L'initialisation de  $D_1$  est  $H_2(2)$  pour chaque groupe constitutif de sa période propre. Seul  $D_2$ , corps de la mélopée, devra avoir des initialisations variables. Il est clair que ces initialisations affecteront la transformée de  $D_2$  après effet des masques (c'est-à-dire  $D'_2$ ) (voir figure 14).

Elles se feront sur les deux notes non consonantes du noyau  $H_1$  (figure 10), c'est-à-dire la et do. Trois initialisations sont possibles :  $H_1(2), H_1(4), H_1(6)$ .

Pour clarifier le choix, on reviendra sur le principe de composition utilisé : ruptures dans un milieu fait de régularités. Il s'agit de passer dans la texture mélodique de figures issues d'un noyau ( $H_1$ ) à des figures issues d'un autre noyau ( $H_2$ ).

Si les noyaux utilisés ont des notes communes, le passage d'une figure à l'autre peut se faire entre notes de l'une n'appartenant pas à l'autre.

On aura alors une rupture véritable.

Ici  $H_2$  étant un sous-ensemble de  $H_1$ , il peut y avoir recouvrement : c'est un principe connu de concaténation. Pendant le recouvrement, la régularité du phénomène précédent et celle du suivant coexistent (équivalence à celle d'un passage modulant appartenant à la fois au ton précédent et au ton suivant). On obtient dans ce cas une atténuation de rupture, un passage progressif d'une organisation à une autre. Ces remarques permettraient même de donner une mesure du degré des ruptures survenant dans un langage.

Revenons maintenant au problème du choix d'affectation des notes de  $H_1$  et  $H_2$  à  $D'_2$ . Etant donné le tripartisme de la mélodie -qu'on peut déduire de l'observation des seules durées (figure 14 - rôle des silences comme séparateurs), et le rôle atténué que les conséquents ont vis-à-vis de l'antécédent, il est naturel d'attribuer à ce dernier la rupture la plus forte, et d'appliquer le principe de concaténation avec recouvrement ou CAR aux conséquents.

Pour l'antécédent, le choix d'initialisation de  $D'_2$  est donc lié à la dernière note utilisée pour  $D_0$ , soit  $H_1(4)$ . Le principe de rupture écarte SI (note conjointe) donc  $H_1(3)$  et  $H_1(5)$ , la non-répétition  $H_1(4)$ , le refus de régularité  $H_1(1)$  (2 répétitions des 4 notes de  $H_1$  en  $D_0$  et  $D'_2$ ). Restent  $H_1(2)$  et  $H_1(6)$ , la note la.

On peut vérifier que ces deux initialisations conduisent pour la liaison avec  $D'_1$  à une répétition de note (la dernière note de  $D'_2$  et première de  $D'_1$ ).

Pour écarter cette répétition, on utilisera le principe suivant : Lors d'une rupture mélodique décidée entre figures rythmiques, on poursuivra l'affectation des notes du 1er noyau aux durées de la seconde figure jusqu'à ce que la répétition avec les notes du second noyau affectées à cette figure disparaissent.

Ce principe peut être automatisé par tests, et l'initialisation du premier noyau peut lui être subordonnée. Il est facile de voir alors que seule l'initialisation  $H_1(2)$  pour  $D'_2$  peut être retenue.

Pour l'initialisation des 2 conséquents de  $D'_1$ , on appliquera simplement le principe de CAR déjà défini, qui donne immédiatement  $H_1(6)$  et  $H_1(4)$ .

Le résumé des opérations ci-dessus est indiqué figure 15.

#### Formalisation de l'accentuation de la mélodie

Etant donné l'importance des coups d'archets, on étudiera également leur disposition.

Malgré la présence de 3 groupes de 2 doubles-croches, la valeur unitaire est la croche. On considèrera donc les coups d'archets comme affectés à la note lorsque les durées seront  $\geq 1 \text{ } \text{♩}$ .

S'il y a broderie (retour sur une même note en doubles-croches, la note d'arrivée étant un temps fort), elle sera considérée comme une seule note. (Afin de distinguer les doubles-croches et la broderie, on leur attribuera l'articulation staccato).

En revanche, les coups d'archets seront affectés à une durée unitaire quand les durées seront  $< 1 \text{ } \downarrow$ .

Enfin, plusieurs notes successives affectées d'un même coup d'archet seront toujours liées.

Ces règles établies, on formera un noyau  $\nu$  (figure 16) constitué par la formule des coups d'archets de la tête  $D_0$ , et de son complément. Comme pour les hauteurs, il suffira d'initialiser le noyau pour chaque groupe.

On aura - pour  $D_0$  par définition  $\nu(1)$

- pour  $D'_1$   $\nu(3)$ , les cellules rythmiques étant construites à partir des durées 3 et 4 de  $D_0$ . La répétition formelle de la seconde cellule ( $BD_1$  de la figure 14) appellera évidemment une répétition du coup d'archet
- pour  $D'_2$ , on observe qu'une même figure (hauteurs + durées) se répète dans chacune des 3 interventions (figure 17). On lui donnera donc un poids particulier en lui affectant les mêmes coups d'archets que ceux du début de  $D_0$ . On les en distinguera enfin par un jeté.

Ces principes posés, l'initialisation des coups d'archets s'en déduit sans difficulté :

$\nu(8)$  1er groupe

$\nu(7)$  2è groupe

$\nu(5)$  3è groupe

### Mesures introductives et conclusives

On se rappelle que le corps de la pièce qu'on vient d'analyser est comme l'indique la séquence des mesures utilisées basé sur une durée multiple de celle de la pédale rythmique (14 fois  $7 \text{ } \downarrow$ ). Les mesures qui l'encadrent font appel également à la même base; elles ne conservent que le phénomène pédale de dominante, en lui adjoignant la note conclusive du motif de base de la pédale rythmique, noté  $\text{do } \#$  par enharmonie (ce qui confirme l'identité de fonction harmonique des deux notes encadrant  $\text{ré}$  dans l'apostrophe -  $\text{ré } \# \text{ do } \#$  - et la pédale rythmique -  $\text{mi } \downarrow \text{ ré } \downarrow$  -).

Quant à la conclusion de la mélodie -dont la dernière présentation de la période propre est ainsi tronquée au cours de son antécédent - on peut l'interpréter de la manière suivante :

on considère la texture rythmique  $\Sigma$  de la mélodie (superposition des composantes  $D_0$ ,  $D_1''$ ,  $D_2'$ ) comme un tout, se poursuivant jusqu'à la dernière présentation complète de la période propre de la pédale rythmique. On interrompt l'affectation mélodique décrite pour la mélodie à la 5<sup>e</sup> valeur avant cette coupure, et on affecte aux 4 dernières valeurs les hauteurs tirées du noyau  $H_1$ , initialisé à  $H(4)$  qui correspondent à la rétrogradation mélodique de la tête ( $D_0$ ).  
1

Le rôle de syncope de la dernière valeur suggère le maintien de la dernière note pendant la durée équivalente à l'antécédent, sans la répétition du motif conclusif ( $BD_1$ ), mais comprise la valeur du silence séparateur du 1<sup>er</sup> motif.

Malgré l'inutilité d'imaginer un modèle pour cette conclusion - on la considèrera plutôt de même que l'introduction, comme la dernière touche à apporter "manuellement" au modèle - ces dernières constatations confirment à la fois le rôle organique du demi-soupir séparateur dans le motif conclusif, et la fonction facultative de sa répétition globale, telle qu'elle a été formalisée lors de la description de l'opérateur MT.



## II. Un modèle informatique de la pièce.

### Les concepts

L'analyse précédente a mis à jour un certain nombre de procédures qui permettent de décrire le détail de la réalisation de la pièce. On verra plus loin l'articulation d'ensemble définissant la séquence des opérations. Toutefois, on va tenter d'abord de faire un pas de plus en avant, et de dégager les bases de sa conception même - ce qui nous sera rendu possible par l'extrême économie des matériaux mis en jeu.

On peut dégager d'emblée l'impact de deux sources distinctes l'une sur l'autre : la musique populaire et la tradition musicale.

De la danse paysanne sont issus en particulier : le mode défectif de 4 sons du 1er violon, la pédale de ré qui évoque la basse obligée de la vielle à roue (\*), la fixité de la trame harmonique, la base rythmique cellulaire et l'utilisation purement binaire des durées.

De la tradition proviennent : la formation instrumentale, l'utilisation ambiguë de la tonalité de sol, en partie contredite par les distorsions enharmoniques autour de la dominante (do# ré#  $\approx$  ré♭ mi ♭ fig. 18), la caractérisation des parties constitutives, accusée par la distinction des timbres (sul. G, du talon ff, ponticello, pizz). Mais derrière ces deux sources, dont la première est prépondérante sous les apparences de l'obsession répétitive, on décèle les germes de la contradiction : périodes premières entre elles, déplacement autonome de l'apostrophe, opposition à la coupe binaire dans la structure même de la mélodie.

On a pu situer ainsi les trois germes initiaux de la pièce dans l'ordre de leur émergence : obsession, tradition, contradiction.

---

\* L'évocation est encore accusée par le jeu près du chevalet

par l'introduction et la conclusion qui laissent à découvert la pédale, à laquelle s'ajoute le côté grinçant de l'intervalle de 9<sup>e</sup> min.

Cette dernière remarque apporte un sens supplémentaire aux mesures introductives et conclusives.



### Les données de base

On a résumé en un tableau (fig. 18) les données de base et les paramètres déduits.

Les deux données fondamentales sont, on le rappelle :

- la tête de la mélodie, munie de toutes ses structures (durées, hauteurs, articulation)
- la trame harmonique (fig. 19), formée de 12 sons étagés, dont l'injection dans une octave forme par enharmonie un mode défectif de 9 sons (ton de sol plus les deux demi-tons encadrant la dominante). Cette trame est divisée en 3 groupes de 4 sons  $N_0$ ,  $N_1$ ,  $N_2$  dont 1 groupe conjoint ( $N_2$ ), chacun étant un sous-ensemble des tessitures des instruments affectés. C'est à chacune de ces zones que sont rattachés tous les paramètres déduits, y compris les timbres (considérés ici comme des éléments de l'ensemble "modes de production des sons des instruments à cordes").

Les paramètres déduits, abondamment décrits dans le cours de l'analyse, ne demandent pas de nouveau commentaire.

### Les étapes de réalisation

On voit maintenant plus clairement les étapes nécessaires :

- a) constitution des figures composées (durées, hauteurs, articulations, nuances) qui formeront la période propre des parties périodiques ou non, choix des périodes propres
- b) description des lois de déplacement des parties mobiles autour d'une période propre (apostrophe) : ces déplacements s'expriment en fonction des positions respectives des autres parties (interférences)
- c) détermination des limites (frontières de déplacements permises) fixant le nombre des interférences à retenir et donc la durée de la pièce
- d) déroulement effectif du programme
- e) rédaction "libre" de l'introduction et de la conclusion (\*\*).

---

\* On voit d'autre part par la réalisation qu'est appliqué implicitement un principe de "compatibilité" entre les parties constitutives, y compris l'apostrophe-écho mais non comprise l'apostrophe; ce principe souvent utilisé depuis postule qu'une fois établi un algorithme, toutes les rencontres harmoniques et contrapunctiques possibles qui en découlent sont "bonnes".

\*\* On observe le même phénomène par exemple pour la conclusion d'une pièce d'autre part banalement algorithmique, "l'échange", 3<sup>e</sup> des 20 regards sur l'Enfant-Jésus pour piano d'Olivier Messiaen, dont il est plus économique de décrire la dernière mesure hors des mécanismes mis en jeu.

L'étape a) réclame une attention particulière quant à la synthèse de la période propre "mélopée". Cette dernière comporte en effet plusieurs phases intermédiaires constituant un sous-programme (fig. 21) :

- 1) constitution de la figure  $(D_1, H_2, \nu)$  et de la figure rythmique  $D_2$  (formalisées, mais non par un mécanisme algorithmique)
  - 2) calcul des périodes propres  $T_1$  et  $T_2$ ,  $T_0$  étant fixée, et choix de leurs interférences (fig. 13). Initialisation de  $D_0$  par rapport à la chaîne ainsi constituée
  - 3) application dans l'ordre des opérateurs :
    - MT de  $D_0$  et  $D_2$  sur  $D_1$  soit  $D'_{1i}$   $i = 1, 2, 3$
    - ML de  $D_0$  sur  $D'_1$  soit  $D''_{1i}$   $i = 1, 2, 3$
    - ML de  $D''_1$  sur  $D_2$  soit  $D'_{2j}$   $j = 1, 2, 3$
  - 4) initialisation des noyaux mélodiques des figures composées  $(D'_{2j}, H_1(k))$  et corrections de hauteurs qui en découlent sur les autres parties  $(D'_{1i}, H_2)$
  - 5) application du noyau  $\nu$  (articulation) aux figures  $(D'_{2j}, H_1(k))$  : principes d'initialisation
  - 6) opération  $\Sigma$  sur les 3 figures composées complètes correspondant à  $D_0, D'_1$  et  $D'_2$ . Réinitialisation de la période propre de la mélopée. On peut ainsi mettre en lumière la frontière précise en deça de laquelle le choix des paramètres, issu des données de base, est dévolu à la décision du compositeur, mais à l'intérieur d'une formalisation.
- L'organigramme correspondant représenté fig. 20 dans son apparente évidence prend ainsi une valeur nouvelle. On y a ajouté, pour d'autres applications, les modifications éventuelles.

### Conclusions de l'analyse précédente

Dans le cours de la description qui précède, on a pu élucider le détail des opérations nécessaires à la définition d'un modèle de la pièce.

On n'a écarté aucun détail d'écriture ni de forme; on a précisé au passage non seulement la structure algorithmique des parties, mais les conditions qui déterminent la longueur de la pièce, les interférences entre ces parties; afin d'élucider la structure de la mélopée, on a décrit les éléments d'un modèle de génération mélodique basé lui aussi sur des interférences de groupes à périodes premières entre elles à l'intérieur de la période propre de la mélopée.

On a défini les concepts de noyau mélodique, les opérateurs d'occultation MT et ML, le principe de la hiérarchie de leurs effets, l'affectation des notes des noyaux mélodiques avec leurs conditions d'initialisation; on a précisé enfin les conditions d'articulation, basées elles aussi sur l'appel à un noyau "coups d'archets".

arco

Alto

pizz(sulr)

Violoncelle

pizz

mf

f p f p f p

f

Fig. 1. Unité de base de la pédale (7 ↓).

2<sup>me</sup> violon  
sur le sol

a)

b)

ff

ff

Fig. 2. Figures de l'apostrophe (a) et de l'apostrophe - écho (b)

1<sup>er</sup> violon  
sur le sol

A)

B)

mf

f

talon

talon

Fig. 3. Unité de base de la mélodie (23 ↓)

Fig. 4 illustrates musical notation for three types of melodic phrases: *Mélopée* (4 fois), *la 5e*, and *Apostrophe*. The notation is organized into three systems, each with a staff and a corresponding sequence of notes and rests.

The first system, labeled *Mélopée* (4 fois), shows a sequence of notes and rests across 25 measures. The notes are marked with 'v' (vertical) and 'h' (horizontal) symbols, indicating specific melodic intervals or phrasing. The sequence is numbered 1 through 25.

The second system, labeled *la 5e*, shows a sequence of notes and rests across 8 measures. The notes are marked with 'v' and 'h' symbols. The sequence is numbered 1 through 8.

The third system, labeled *Apostrophe*, shows a sequence of notes and rests across 6 measures. The notes are marked with 'v' and 'h' symbols. The sequence is numbered 1 through 6.

Fig. 4 : Positions relatives de l'apostrophe et de l'apostrophe-révo  
vis-à-vis de la mélopée.

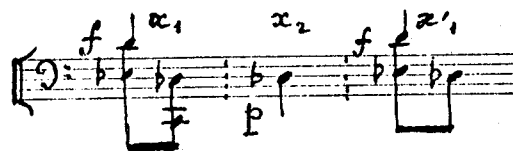


Fig. 5



Fig. 6. Positions relatives de l'apostrophe et de la pédale rythmique

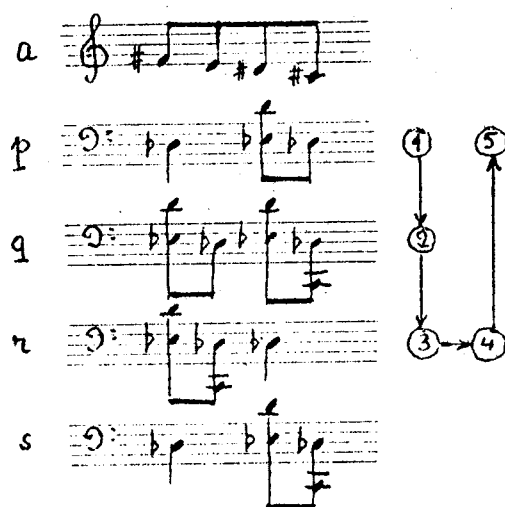


Fig. 7. Coïncidences distinctes possibles

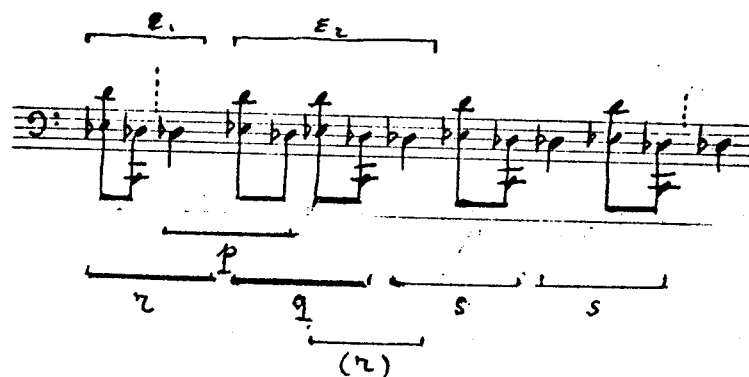


Fig. 8 Positions de l'apostrophe vis-à-vis de la période propre de la pédale rythmique.

Fig. 9 Rencontres entre la mélodie et l'apostrophe.

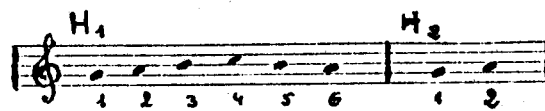


Fig. 10. Noyaux mélodiques de la milopée

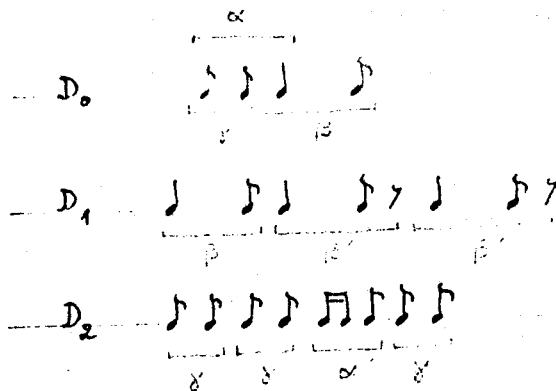


Fig. 11. Groupes rythmiques de base

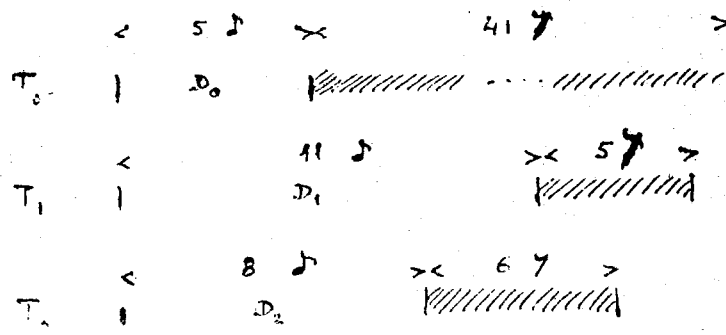


Fig 12. Structure des unités d'interférence

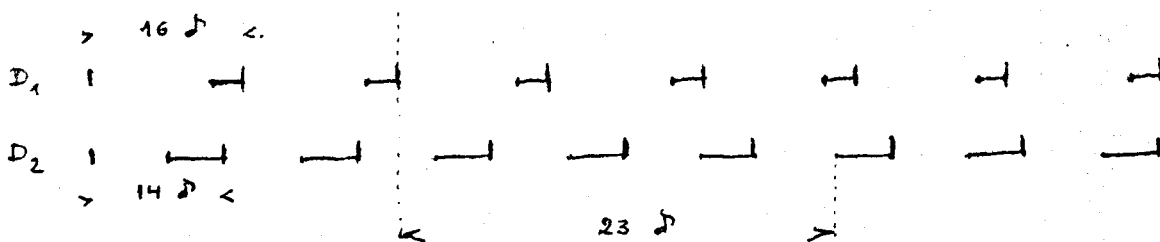


Fig 13. Interférences  $D_1$ ,  $D_2$  et prélèvement retenu





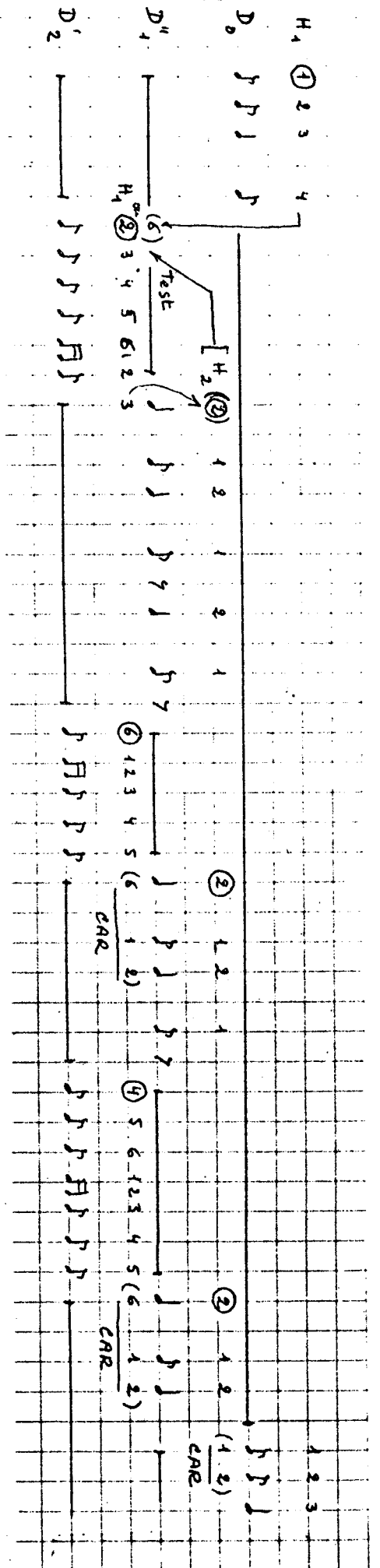


Fig. 15. Affectation des hauteurs

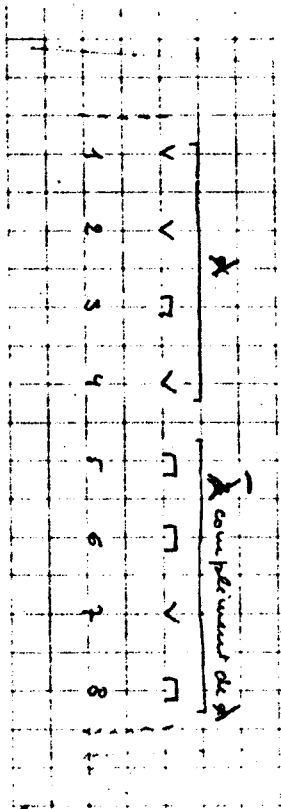


Fig. 16. Noyau v (coups d'archet)



Fig. 17. Cellule durci-haut-tenue  
commence aux 3 groupes D'

DONNÉES DE BASE		DURÉES	Hauteurs	Articulations	Dynamique	Densités	Timbres
<div>Trame Harmonique</div> <div>Tête</div> <div>Matériaux intermédiaires</div> <div>Mélopée</div> <div>Apostrophe Ap.-Echo</div> <div>Pédale rythmique</div> <div>Pédale de ré</div>			$N_2, N_1, N_D$ $H_0$ $H_1, H_2, H_3$	$\lambda$ $\nu = \lambda \bar{\lambda}$	mf	1	
			$H_2$ $H_1$ $H_3$	$\nu$ $\nu$	mf	1	1 <sup>er</sup> Violon sud G. glisse sur toute la longueur de l'archet
			$H_3$ $H_4$	$f(\nu)$	ff	1	2 <sup>ème</sup> Violon sud G. du Talon
			$H_4$	-			
			$H_4(3)$ $H_4(4)$ $H_4(2)$	$(pizz)$ $"$ $"$	$f$ $f$ $p$	$2, 2$ $2, 1$ $1$	$Alto$ $+ Violoncelle$ $pizz$
			$H_4(2)$	$Tenue$	$p$	1	$Alto arco$ $pizz$

Fig 18. Matériaux de base et paramètres déduits

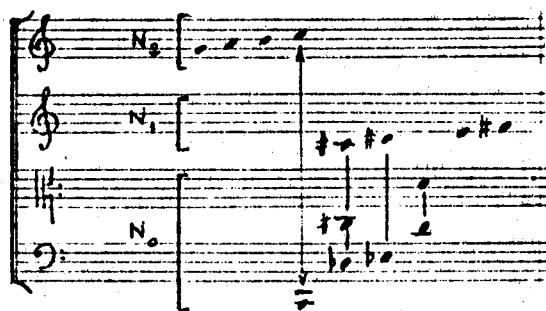


Fig. 19 Trame harmonique

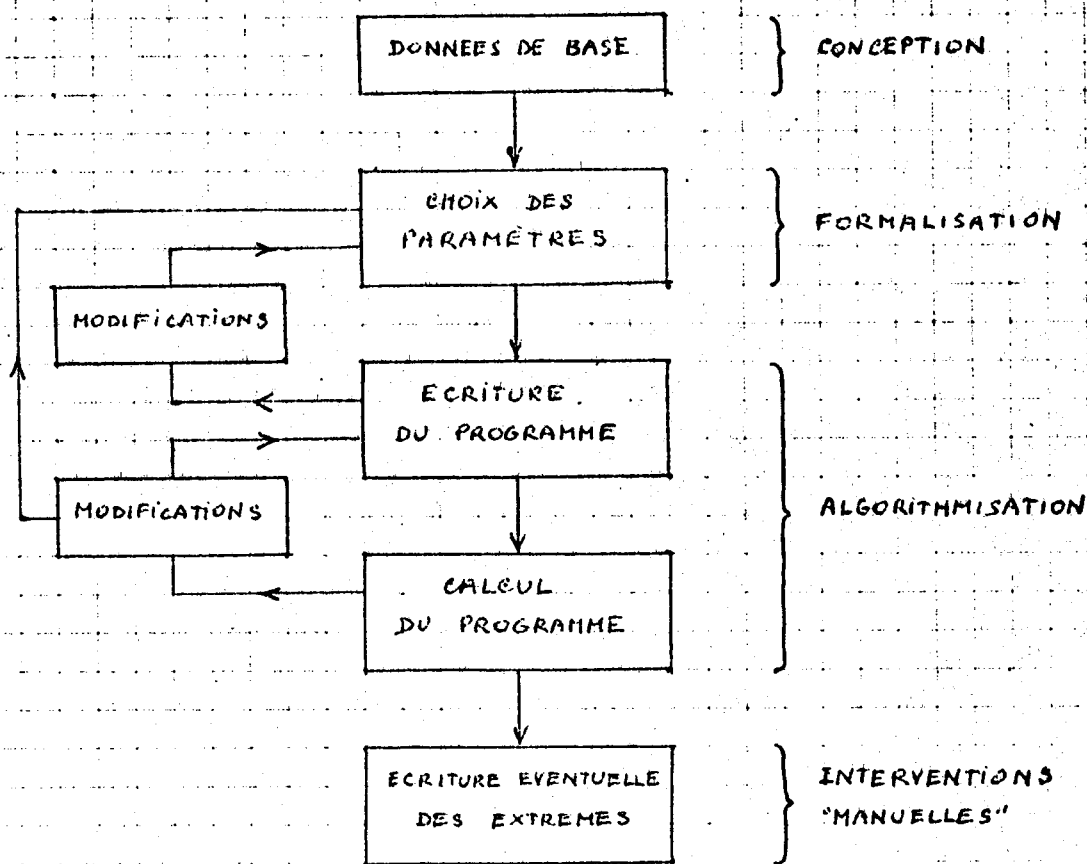


Fig. 20 Etapes de réalisation

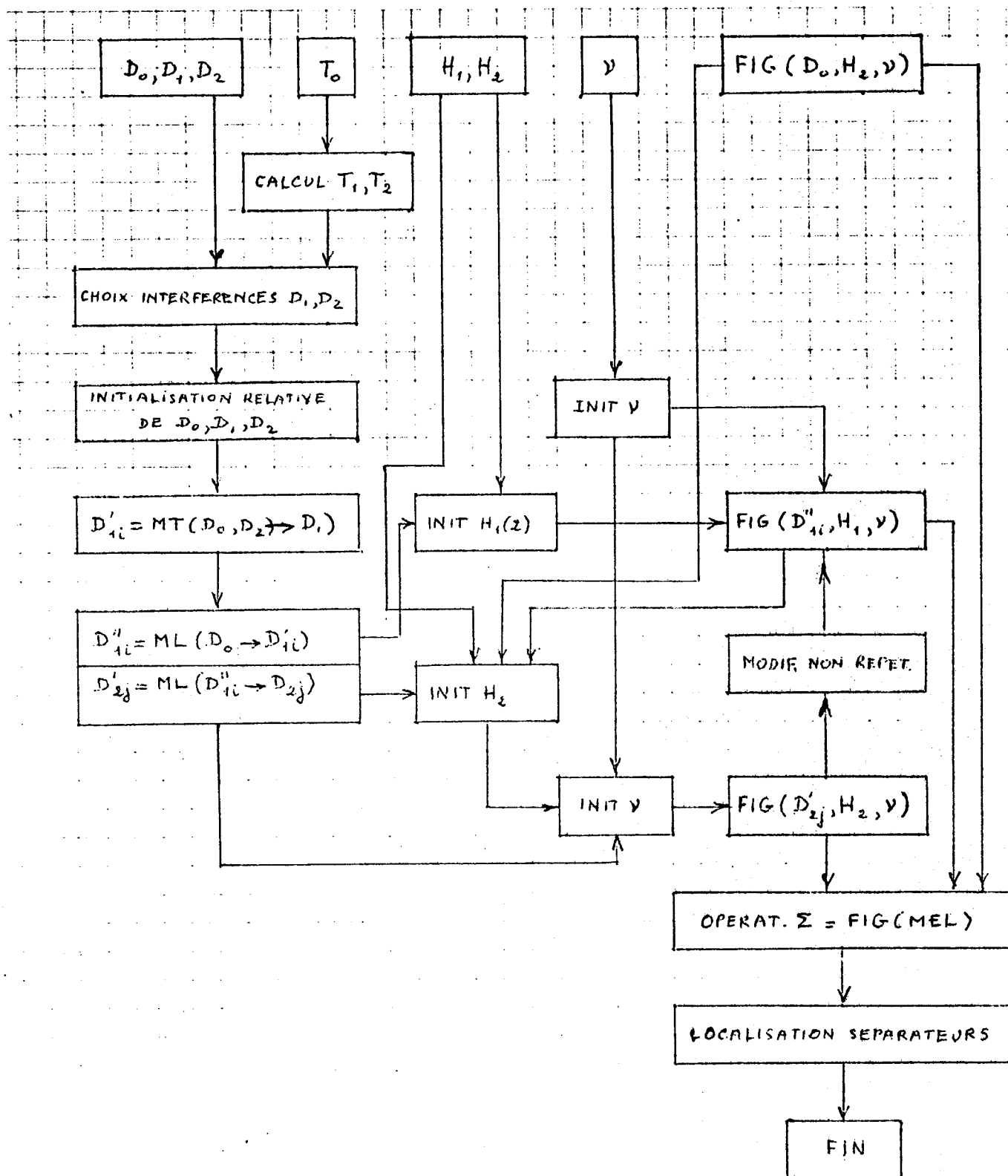


Fig. 21 Sous-programme MELOPEE

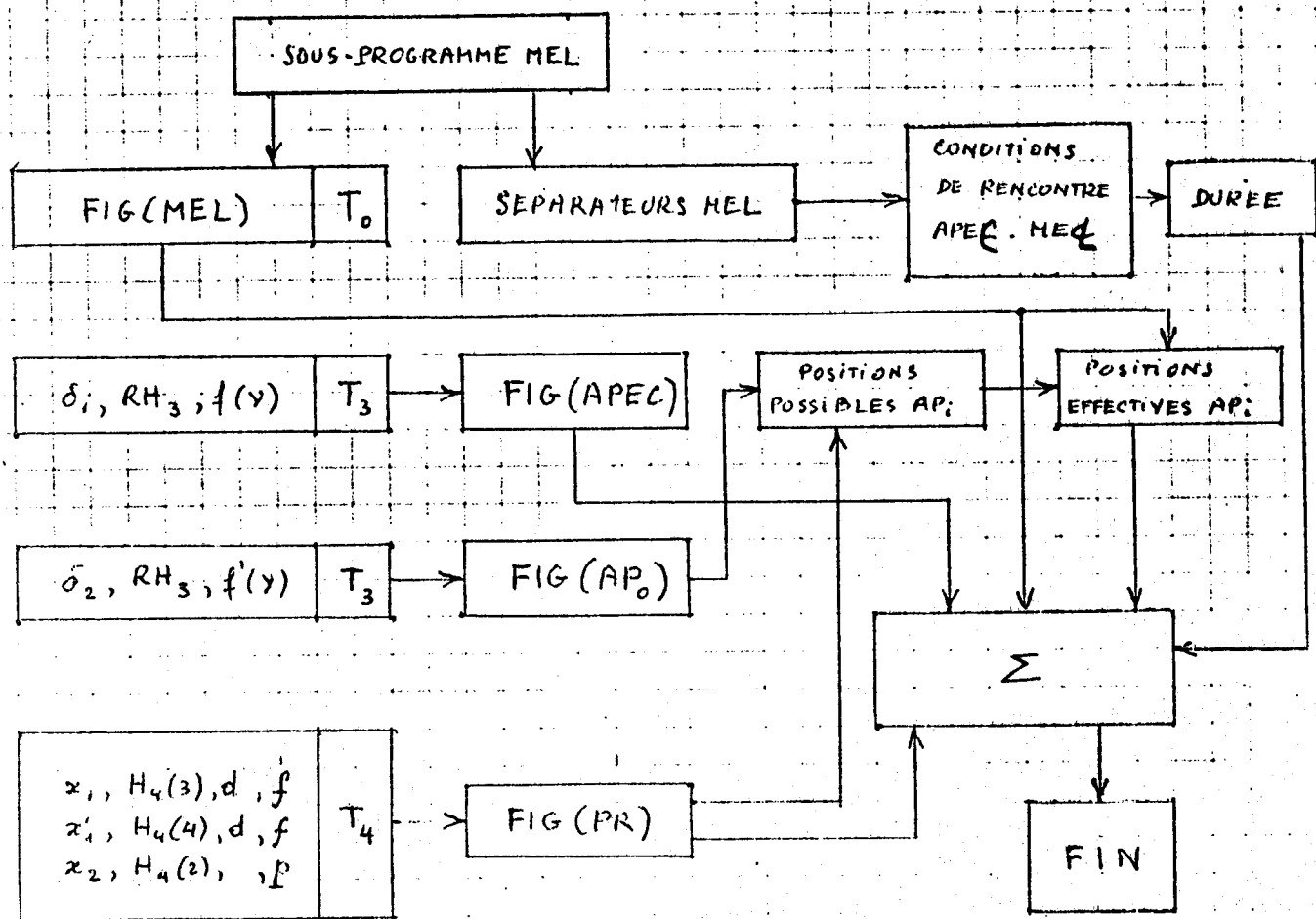


Fig. 22. Programme principal

JIG

PATRICK BUDA

ARTINFØ/MUSINFØ #29

Jig ou Gigue (pour les xénophobes) ; toute ressemblance avec les mots gigots ou gigoter ne saurait être fortuite; il s'agit en effet d'une musique à tempo rapide accompagnant une danse qui l'est toute autant. Musique traditionnelle, musique populaire dont les racines plongent dans le lointain passé, mais qui reste toujours vivante et connaît même un renouveau, par exemple en Irlande (paradis des écolos).

A quoi ressemble une Jig irlandaise ?

Le mieux pour le savoir c'est encore d'en écouter. Je vous conseille quelques disques au passage: BOTHY BAND, PLANXTY, CHIEFTAINS, BOYS OF THE LOUGH (publicité non payée, malheureusement!)

Le rythme est ternaire (mesures à 6/8 ou 9/8 pour les slip jigs) en général dans la tonalité de Ré ou de Sol.

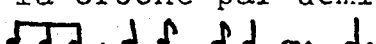
La forme la plus courante est la suivante:

ABACABAC-DEDFDEDF

Chaque membre correspondant en général à deux mesures.

Le but du programme présenté ici est de générer des musiques de ce type, la sortie étant une partition.

Il y a treize hauteurs de notes possibles: Ré, Mi, Fa#, Sol, La, Si, Do (ou do# suivant la tonalité), Ré, Mi, Fa#, Sol, La, Si.

Les rythmes seront générés par demi-mesures. Puisque les mesures sont en 6/8, on aura donc 3 battues à la croche par demi-mesure; ce qui donne 4 rythmes possibles: 

Avant la première mesure, on a la possibilité de générer une anacrouse qui sera une croche.

Les hauteurs de l'anacrouse, de la première note du membre A et du membre D seront tirées au hasard.

-L'initialisation des tirages se fait par l'appel du sous programme TIRI

-Pour tirer une hauteur on appelle le sous-programme TIRN

-Pour tirer un rythme de demi-mesure, on appelle TIRR

-Pour tirer un successeur à une hauteur, on appelle TIRS

Les nombres aléatoires sont fournis par la fonction machine RANF (sous programme TIRH) initialisée par le sous programme machine RANSET. Le résultat de RANF est un entier.

Dans TIRN on ramène le tirage à un nombre compris entre un et 13.

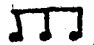
Dans TIRS et TIRR à un nombre compris entre 1 et 100.




On applique ensuite des filtres à ces nombres aléatoires pour obtenir des valeurs avec la probabilité désirée.

#### Désignation des identificateurs:





-dans le programme principal:

MNOT (1) = nombre de notes contenues dans la demi-mesure 1

HRYTE (M2) = rythme de la demi-mesure M2 (4 possibilités: , codées 1,2,3,4)

HTEMP(J,K) = code de durée d'une note (1=, 2=, 3=) pour le rythme J et la Kième note.



HAUTEUR MNOT	 1	 2	 3	 4
1 note				HTEMP = 3
2 notes		HTEMP = 2,1	HTEMP = 1,2	
3 notes	HTEMP = 1,1,1			

HSUC(K) = contient les successeurs d'une hauteur.  
 HPILN(K) = pile contenant la hauteur de la Kième note  
 HPILT(K) = pile contenant la durée de la Kième note  
 m2 = numéro de la demi-mesure  
 M = numéro de la mesure  
 HP = pointeur de pile  
 HPM1 = autre pointeur de pile servant à la recopie  
 HNOT = hauteur de note(1 à 13)  
 HDM = nombre de demi-mesures à générer  
 HN = nombre de notes dans la demi-mesure  
 BFIN = Booléen permettant de tester si la totalité des mesures a été générée.  
 HY = entier aléatoire

-Dans le sous-programme TIRS;

HID = écart en valeur absolue entre une hauteur et son successeur.  
 HPLS = facteur de pondération pour déterminer le signe de la correction effectuée sur la hauteur.

-Dans le sous-programme PART:

BR(5) = contient les caractères C,\*,0,I et . nécessaires à l'impression.

BTAB(13,240)=tableau contenant la représentation de la partition (les 13 lignes correspondent aux 13 hauteurs.

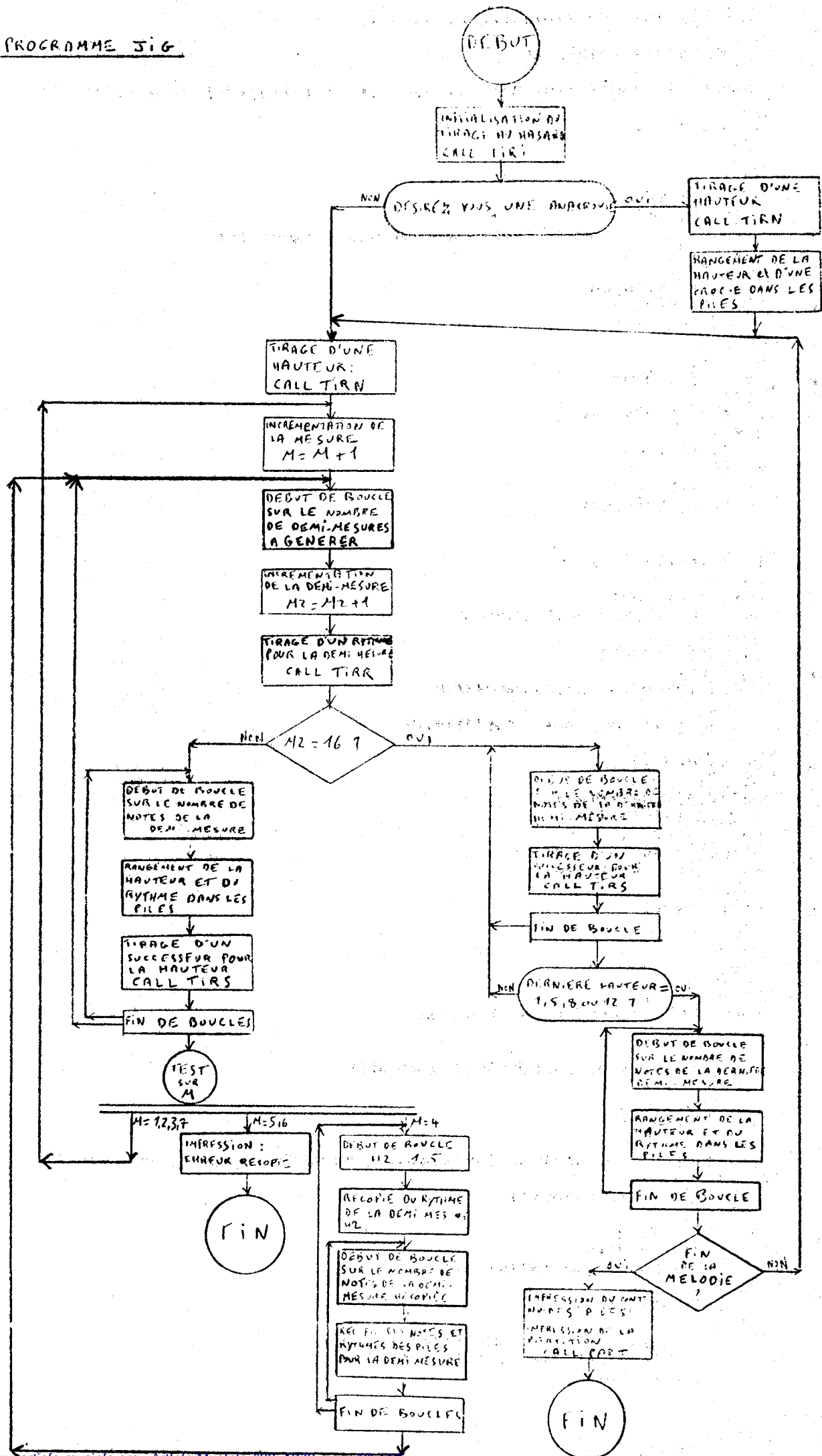
HTS = somme des durées des notes d'une demi-mesure.

HCM = nombre de mesures

### Déroulement du programme :

Le programme principal est divisé en 4 parties :

- du début jusqu'à l'étiquette 40 : initialisations et génération de l'anacrouse lorsque cette option est demandée .
- de l'étiquette 40 à l'étiquette 60 : générations des hauteurs et des rythmes.
- de l'étiquette 60 à 80 : les mesures 1-2 et la moitié de la mesure 3 sont recopiées et vont constituer les mesures 5-6 et la moitié de la mesure 7.
- de l'étiquette 80 à la fin : génération de la dernière demi-mesure de la phrase et test sur la fin éventuelle du morceau. On impose une contrainte sur la dernière hauteur qui doit être la tonique ou la quinte ; donc 4 possibilités puisqu'il y a 2 octaves. Tant que la dernière hauteur ne satisfait pas à ces critères on régénère toute la dernière demi-mesure jusqu'à satisfaction. Lorsque la mélodie a été totalement générée on appelle le sous programme d'impressions PART ; sinon, on retourne à l'étiquette 40.



C  
C  
C

PROGRAMME PRINCIPAL

```
COMMON/GEN/MNOT(4),HTEMP(4,3),HSUC(3),HRYTM(16),HPILN(100),HPILT(1
*00)
BFIN=.FALSE.
M2=0
M=0
HP=1
CALL TIRI(HY)
WRITE(6,10)
10  FORMAT(2X,'SI VOUS DESIREZ UNE ANACROUZE TAPEZ 1')
    READ(5,20) HA
20  FORMAT(I1)
    IF(HA-1)40,30,40
30  CALL TIRN(HNOT)
    HPILN(HP)=HNOT
    HPILT(HP)=1
    HP=HP+1
40  CALL TIRN(HNOT)
45  M=M+1
    IF(M.EQ.1)HPM1=HP
    HDM=2
47  DO 50 I=1,HDM
    M2=M2+1
    CALL TIRR(M2)
    HN=MNOT(HRYTM(M2))
```

```
    IF(M2.EQ.16)GO TO 80
    DO 50 HI=1,HN
    HPILN(HP)=HNOT
    HPILT(HP)=HTEMP(HRYTM(M2),HI)
    HP=HP+1
    CALL TIRS(HNOT)
50  CONTINUE
    GO TO (45,45,45,60,62,62,45),M
```

C  
C  
C

COPIE MESURES 5-6 ET MOITIE DE 7

```
60  DO 65 H2=1,5
    H1=H2+8
    HRYTM(H1)=HRYTM(H2)
    HN=MNOT(HRYTM(H1))
    DO 65 HI=1,HN
    HPILN(HP)=HPILN(HPM1)
    HPILT(HP)=HPILT(HPM1)
    HP=HP+1
65  HPM1=HPM1+1
    M=7
    M2=13
    HDM=1
    GO TO 47
62  WRITE(6,63)M
63  FORMAT(5X,'ERREUR RECOPIE M=',I2)
    STOP
```

C  
C  
C

GENERATION DE LA DERNIERE DEMI-MESURE

```
80  DO 82 HI=1,HN
    HSUC(HI)=HNOT
82  CALL TIRS(HNOT)
    IF(HSUC(HN).EQ.1.OR.HSUC(HN).EQ.5.OR.HSUC(HN).EQ.8.OR.HSUC(HN).EQ
*12)GO TO 83
    IF(HN.GT.1)HNOT=HSUC(1)
    GO TO 80
83  DO 84 HI=1,HN
    HPILN(HP)=HSUC(HI)
    HPILT(HP)=HTEMP(HRYTM(16),HI)
84  HP=HP+1
    IF(.NOT.BFIN)GO TO 85
    HP=HP-1
    WRITE(6,500)(I,HPILN(I),HPILT(I),I=1,HP)
500  FORMAT(3X,'HPILN(',I3,')=',I2,'HPILT=',I2)
    CALL PART(HP,HA)
    STOP
85  M=0
    M2=0
    BFIN=.TRUE.
```

GO TO 40  
END

BLOCK DATA

IMPLICIT INTEGER\*2(H),REAL\*8(D),LOGICAL\*1(B)  
COMMON/GEN/MNOT(4),HTEMP(4,3),HSUC(3),HRYTM(16),HPILN(100),HPILT(  
\*00)  
DATA MNOT/3,2,2,1/,HTEMP/1,2,1,3,1,1,2,0,1,0,0,0/  
END

SUBROUTINE TIRI(HY)

IMPLICIT INTEGER\*2(H),REAL\*8(D),LOGICAL\*1(B)  
DIMENSION N(9)  
Z=N(1)  
CALL KLOAK(N)  
DO 2 I=2,9  
Z=Z+N(I)  
CALL RANSET(Z)

ENTRY TIRH(HY)

HY=RANF(100)  
IF(HY.LE.0)GO TO 5  
RETURN  
END

SUBROUTINE TIRN(HNOT)

IMPLICIT INTEGER\*2(H),REAL\*8(D),LOGICAL\*1(B)  
CALL TIRH(HY)  
HNOT=HY-HY/12\*12+1  
RETURN  
END

SUBROUTINE TIRR(M2)

IMPLICIT INTEGER\*2(H),REAL\*8(D),LOGICAL\*1(B)  
COMMON/GEN/MNOT(4),HTEMP(4,3),HSUC(3),HRYTM(16),HPILN(100),HPILT(  
\*00)  
CALL TIRH(HY)  
HY=HY-HY/100\*100  
IF(HY.LE.65)HRYTM(M2)=1  
IF(HY.GT.65.AND.HY.LE.80)HRYTM(M2)=2  
IF(HY.GT.80.AND.HY.LE.90)HRYTM(M2)=3  
IF(HY.GT.90)HRYTM(M2)=4

RETURN  
END

SUBROUTINE TIRS(HNOT)

IMPLICIT INTEGER\*2(H),REAL\*8(D),LOGICAL\*1(B)  
HPLS=-20  
CALL TIRH(HY)  
HY=HY-HY/100\*100  
IF(HY.LT.4)HID=0  
IF(HY.GE.4.AND.HY.LT.58)HID=1  
IF(HY.GE.58.AND.HY.LT.86)HID=2  
IF(HY.GE.86.AND.HY.LT.97)HID=3  
IF(HY.GE.97.AND.HY.LT.99)HID=4  
IF(HY.GE.99)HID=5  
IF(HNOT.GT.6)HPLS=20  
CALL TIRH(HY)  
HY=HY-HY/100\*100  
HTES=HY+HPLS  
IF(HTES.GE.50)HID=-HID  
HNEW=HNOT+HID  
IF(HNEW.LE.0.OR.HNEW.GT.13)GO TO 10  
HNOT=HNEW  
RETURN  
END

```

SUBROUTINE PART(HP,HA)
IMPLICIT INTEGER*2(H),REAL*8(D),LOGICAL*1(B)
COMMON/GEN/MNOT(4),HTEMP(4,3),HSUC(3),HRYTM(16),HPILN(100),HPILT(
*00)
DIMENSION BR(5),BTAB(13,240)
DATA BR/'C','*','0','1','.',BTAB/3120*0' /
DATA H0/1/,HTS/0/,HCM/0/,HL/1/
IF(HA.NE.1)GO TO 20
H0=2
BTAB(HPILN(1),1)=BR(HPILT(1))
HL=3
DO 10 HI=1,13
10  BTAB(HI,2)=BR(4)
20  DO 25 HI=H0,HP
    BTAB(HPILN(HI),HL)=BR(HPILT(HI))
    HTS=HTS+HPILT(HI)
    IF(HTS.NE.6)GO TO 23
    HTS=0
    HCM=HCM+1
    HL=HL+1
    IF(HCM.NE.8)GO TO 22
    BTAB(5,HL)=BR(5)
    BTAB(7,HL)=BR(5)

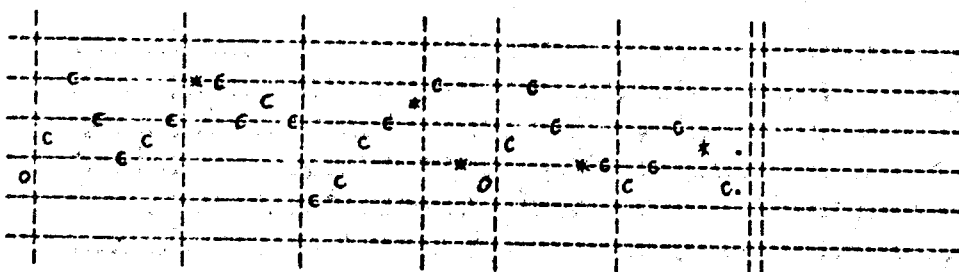
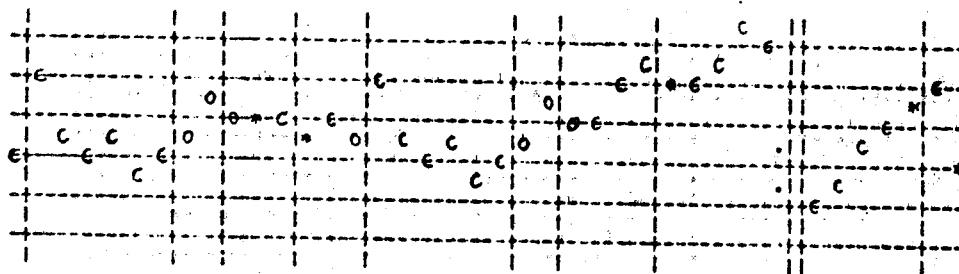
```

```

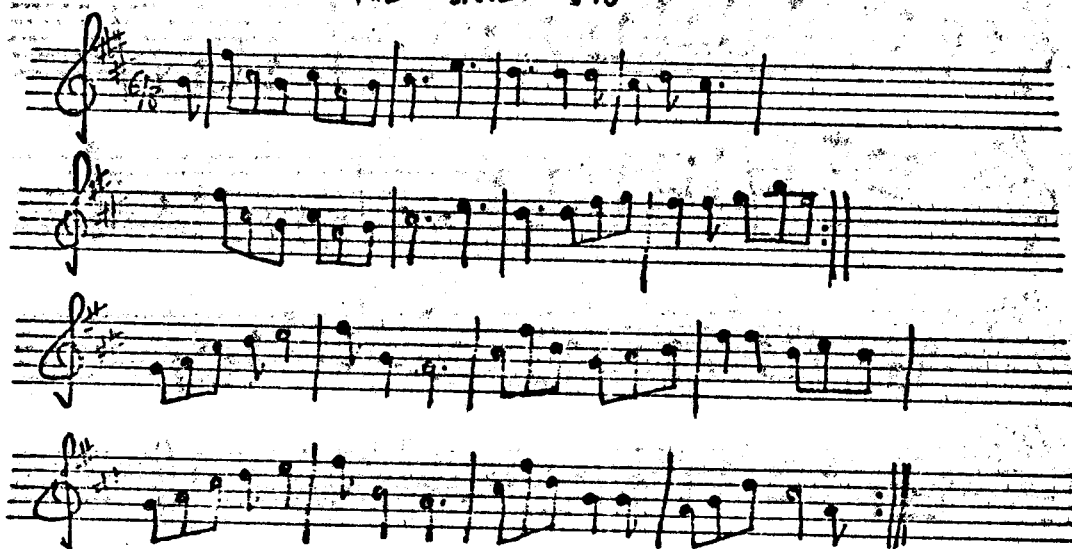
    HL=HL+1
    B8=.FALSE.
22  DO 24 HX=1,13
24  BTAB(HX,HL)=BR(4)
    HL=HL+1
    IF(HCM.NE.8)GO TO 25
    IF(B8)GO TO 21
    B8=.TRUE.
    GO TO 22
23  HL=HL+2
    GO TO 25
21  HCM=0
    B8=.FALSE.
25  CONTINUE
    HLIM=1
30  DO 100 HI=1,13
    HX=14-HI
    HLIM2=HLIM+78
    WRITE(6,40)(BTAB(HX,I),I=HLIM,HLIM2)
40  FORMAT(1H,79A1)
    IF((HX-HX/2*2).EQ.0)WRITE(6,50)
50  FORMAT(1H,79(' '))
100 CONTINUE
    WRITE(6,60)
60  FORMAT(1H0,/)
    IF(HLIM2.GT.210)RETURN
    HLIM=HLIM2+1
    GO TO 30
END

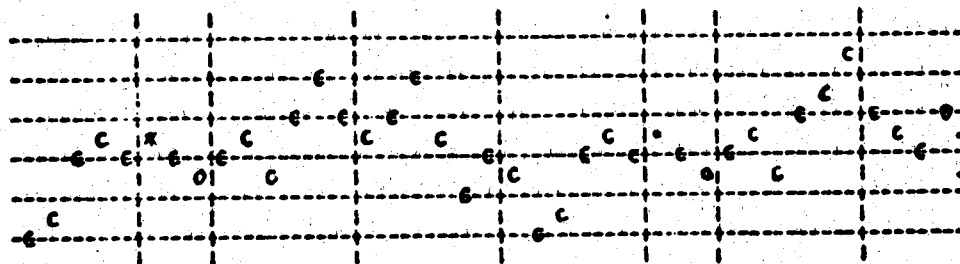
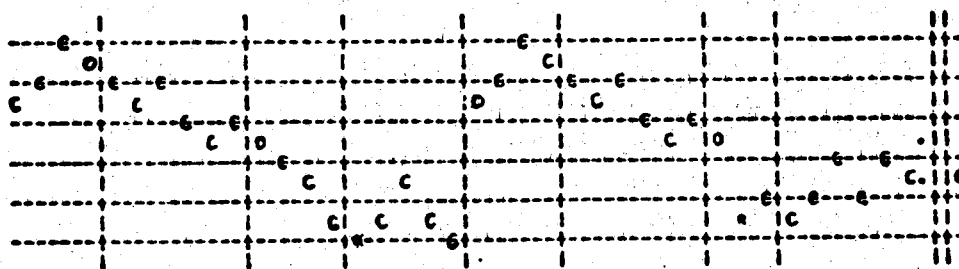
```

\*EOD



# THE SPOILT JIG





COMPUTER'S FAVOURITE





# **UN PROGRAMME COMPOSITIONNEL : "QUATRE ETUDES ET VARIATIONS"**

**GILBERT DALMASSO**

## UN PROGRAMME COMPOSITIONNEL : "QUATRE ÉTUDES ET VARIATIONS"

Malgré les lacunes de l'analyse du comportement du musicien, nous pouvons néanmoins simuler une attitude compositionnelle : la conception et l'élaboration d'un algorithme de travail et sa mise en oeuvre.

Les musiciens informaticiens doivent, préalablement à toute création, tester la technologie et accepter le mode d'approche formelle qu'elle confère à la composition. La première approche consiste à définir un algorithme satisfaisant à l'exigence suivante : générer une famille d'objets sonores. Le but est d'isoler des classes et des sous-classes de sons "intéressants". La notion d'intérêt est subjective et suppose une pré-sélection individuelle. Les critères sélectifs sont généralement issus du passé musical et esthétique du musicien.

Le programme est placé à la fin du chapitre. Plutôt que de le commenter dans son état final, il est nécessaire d'en décrire deux procédures, significatives de notre démarche compositionnelle. Ces deux extraits se révèlent comme deux épisodes extrêmement fructueux en recherche d'une compréhension plus nette des phénomènes interactifs homme-machine en musique.

La composition des "Quatre Etudes et Variations" date de juillet 1977.

## CONCEPTION ET RÉALISATION

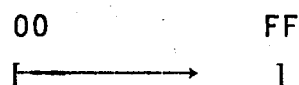
Nous définissons 2 opérateurs :

### ★ *opérateur de miroir*

La technique sérielle a largement utilisé la structure du miroir : le renversement.

Mode de fonctionnement informatique :

- ★ à partir de 00
- ★ à partir de FF
- ★ à partir de n'importe quel point du parcours numérique.



instruction : ADI 1

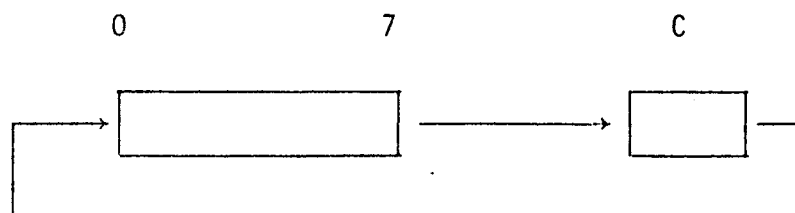


instruction : SUI 1

### ★ *opérateur de déphasage*

Pour rompre la régularité du formalisme des valeurs générées, il est utile de procéder par des sauts de valeurs entre 00 et FF.

Instruction de permutation cyclique :



## 1ère procédure

```

1080 LLI D0
1082 LHI 10
1084 LEI 2
1086 LME
1087 LLI DI
1089 LAI 01
108B LDI 8
108D RLC
108E LMA
108F QUT C
1090 QUT D
1091 QUT E
1092 QUT F
1093 CAL :T
1096 LAM
1097 DCD
1098 JFZ =108D
109B ADI 1
109D LEA
109E JFZ =108B
10A1 LDI 8
10A3 RLC
10A4 LMA
10A5 OUT C
10A6 OUT D
10A7 OUT E
10A8 OUT F
10A9 CAL :T
10AC LAM
10AD DCD
10AE JFZ =10A3
10B1 SUI 1
10B3 LEA
10B4 JFZ =10A1
10B7 LLI D0
10B9 LHI 10
10BB LEM
10BC DCE
10BD LME
10BE JFZ =1087
10C1 HLT

```

INITIALISATION DE A  
 COMPTEUR D APPLICATION  
 FONCTION ARITHMETIQUE  
 SAUVEGARDE DE A

REPRISE DE LA VALEUR COURANTE DE A

NOUVELLE VALEUR DE A  
 TANT QUE (A) N'EST PAS DE NOUVEAU A ZERO  
 APPLIQUER LA FONCTION POUR TOUTE NOUVELLE  
 VALEUR DE A. D COMPTEUR D'APPLICATION

RE-INIT (A)

COMPTEUR DE LA PROCEDURE  
 CONTROLE DU TEMPS - DUREE DE LA PIECE

Interrogeons- nous sur le problème que pose sa mise en oeuvre. Il est nécessaire de saisir la portée de ce type de programmes du fait qu'on ne peut écarter les problèmes de la différenciation du temps machine/temps réel. Introduisons d'abord la contrainte du temps-machine : il dépend entièrement de la technologie du calculateur. Ainsi sur l'ordinateur 8008, le cycle d'une instruction de 1 mot mémoire est effectué en 12 microsecondes. Dans l'enchaînement séquentiel d'exécution des instructions s'insère alors la temporisation qui révèle le discours musical à l'auditeur : le temps musical. Reste la notion de temps global : la durée totale de l'oeuvre est variable selon le désir de l'opérateur.

Considérons donc le problème de l'interprétation musicale. Posons-le dans le contexte du programme compositionnel. Le rôle de l'interprétation est essentiel du fait que la composition et l'exécution sont immédiates et simultanées. La procédure de temporisation est nécessaire à la compréhension optimale du discours. Le but visé par le compositeur est nécessairement d'obtenir le meilleur résultat possible. Aussi, comment procéder de façon à mettre en évidence les phrases mélodiques intéressantes ? Après la rédaction d'un programme, l'opérateur en effectue sa mise au point. Pour le musicien-informaticien, mettre au point consiste au préalable à expérimenter les durées.

### *2ème procédure*

Le programme suivant, appliqué sur la procédure T du programme précédent détermine la variabilité du processus temporel. Nous définissons les limites de variabilité en fixant une borne supérieure et une borne inférieure aux boucles de temporisation. La variation est sensible après 7 applications de la procédure de génération. La borne inférieure est réalisée à l'aide du filtre ORI F7, et la borne supérieure par le test CPI 1F.

1020 LEI FF	COMPTEUR GLOBAL
1022 LLI 52	
1024 LHI 11	
1026 LME	
1027 LLI 50	REGISTRE B: VARIATEUR DE TEMPO
1029 LHI 11	
102B LBI 1F	
102D LMB	
102E LLI 51	
1030 LHI 11	
1032 LCI 7	REGISTRE C: COMPTEUR DE TEMPS
1034 LMC	
1035 LAI 01	DE VARIATION. INIT A
1037 LDI 8	
1039 ADI 1	INCREMENT DE A
103B RLC	
103C LEA	
103D LLI 50	RANGEMENT DE (B)
103F LMB	
1040 LAB	
1041 LAA	
1042 ORI 07	FILTRE , 0000 0111
1044 LAA	
1045 LBA	
1046 LAE	
1047 OUT C	
1048 OUT D	
1049 OUT E	
104A OUT F	
104B CAL :T	
104E LLI 50	REPRISE DE VALEUR PRECEDENTE B
1050 LBM	
1051 LLI 51	
1053 LCM	
1054 DCC	
1055 JTZ :1	
1058 LLI 51	
105A LMC	
105B LAE	
105C DCD	
105D JFZ =103B	RANGEMENT DE C, A, DCR D ALLER A L'APPLICATION DE LA FONCTION
1060 LLI 52	
062 LEM	REPRENDRE(E)
	1063 DCE

1064 LME  
 1065 JFZ =1037  
 1068 LAI 00  
 106A HLT

ON TERMINE PAR DO

106A :1  
 106A LCI 7

TOUS LES 7 COUPS CHANGER LA  
 VALEUR DE (B) SI B=0 ALORS INCREMENTER,  
 ALLER A :2 SINON DCR, ALLER A SUITE DE  
 LA PROCEDURE: LAE DCD TEST

106C LLI 51  
 106E LMC  
 106F LLI 50  
 1071 LBM  
 1072 DCB  
 1073 JTZ :2  
 1076 LMB  
 1077 JMP =1058  
 107A

:2

107A LLI 55  
 107C LHI 10  
 107E LMI 68  
 1080 LLI 56  
 1082 LMI 7A  
 1084 LCI 7  
 1086 LLI 51  
 1088 LHI 11  
 108A LMC

METTRE 7A, ADRESSE DE :2  
 COMPTEUR C

108B LLI 50  
 108D LBM  
 108E INB  
 108F LMB  
 1090 LAB

RANGEMENT C REPRISE DE (B) INCREMENT

1091 CPI 0F  
 1093 JTZ :3  
 1096 JMP =1058

TEST: NE PAS DEPASSER LA BORNE SUPERIEURE.

SI VRAI ALLER A :3, SINON A LA SUITE

1099 :3  
 1099 LLI 56  
 109B LHI 10  
 109D LMI 6A  
 109F LBI 1F  
 10A1 LLI 50  
 10A3 LHI 11  
 10A5 LMB  
 10A6 JMP =1058

METTRE 6A: ADRESSE DE :1  
 RE-INIT (B) RANGEMENT

A partir des 2 programmes précédents, nous avons réalisé quatre pièces différentes appartenant à la même famille. Notre option compositionnelle est ici très classique. L'auditeur pourra suivre sans difficulté le parcours logique des quatre pièces successives, leurs liens de parenté restant aisément discernables. A la variabilité intrinsèque de la procédure précédente, ajoutons des modifications à l'algorithme générateur. Nous définissons 2 niveaux de variations de l'algorithme actif :

#### *1er niveau*

Le décalage circulaire a lieu à droite dans la première et la quatrième pièce, à gauche dans la deuxième et la troisième.

L'ordre de progression de la valeur initiale est le suivant :

incréméntation pour la première et la quatrième,

décréméntation pour la deuxième et la troisième.

Nous obtenons ainsi deux classes d'êtres sonores définissant la première et la deuxième étude.

#### *2ème niveau*

Le dispositif analogique n'est pas limitatif, contraignant, passif. Au contraire sa conception le révèle comme un système interactif de manipulation en temps réel.

Introduisons l'option dynamique suivante : intervenir sur le synthétiseur. A la lecture d'une partition écrite au préalable nous initialisons les modules du synthétiseur avant le début de chaque étude. Nous obtenons ainsi deux sous-classes d'êtres sonores définissant la troisième et la quatrième étude.



## DESCRIPTIF ANALOGIQUE

### *Etude n°1*

Elle est réalisée avec le premier programme.

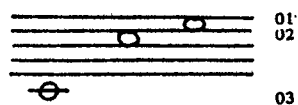
Le temps musical et la forme sont strictement définis. Voici le réglage du synthétiseur VCS3 :

Ø1 (7 6,8 7 7) → ØUT 1 → ØUT 2  
 Ø2 (7,5 5 6 7) → ØUT 1 → REV → ØUT 2  
 Ø3 (5 5 3 0) → ØUT 1 → ØUT 2  
 REV (5,5 6 7) → ØUT 2

### *contrôle*

DAC 1 → Ø1  
 DAC 2 → Ø2  
 DAC 3 → Ø3  
 DAC 4 → REV

### *accord*



clé 04 = 00001111

*Etude n°2*

Elle est réalisée avec le deuxième programme.

L'improvisation se situe au niveau de la variabilité temporelle de l'exécution et de la génération du discours. Le réglage du synthétiseur admet une fonction incomplètement contrôlable le ring-modulateur.

```

Ø1 (7 5 7 0) → ØUT 1 → RING A
Ø2 (7,5 5 7 0) → RING B
FILT (7,5 5 7) → REV
RING (FILT)
REV (5 7) → ØUT 1

```

*contrôle*

```

DAC 1 → Ø1
DAC 2 → UP
DAC 3 → FILT
DAC 4 → REV

```

*Etude n°3*

Le programme est identique à celui de la première étude.

La nouveauté réside en l'usage des tensions délivrées et le réglage du synthétiseur.

```

Ø1 (7 5 7 0) → RING A
    (stick I16 pour les notes graves)
Ø2 (7,5 5 1+2 0) → en l'air ou
                   RING B
RING (FILT)
FILT (10 5,8 7) → REV (0 7) → ØUT 1
                                ØUT 2

Ø3 (3 3 0 7)  ~ → CONTROLE IN FILT FREQ
              □ → OUT LEVEL 2
              □ → Ø1

```

*contrôle*

DAC 1 → Ø1  
 DAC 2 → RING (B)  
 DAC 3 → ØUT LEVEL 1  
 DAC 4 → Ø3

*Etude n°4*

Le deuxième programme est en jeu.

Le réglage du synthétiseur laisse apparaître un retour à la conception de la première pièce, mais avec une plus grande part d'improvisation en temps réel sur la partie analogique.

Ø1 (7 5 7 0⇔7) SINUS → RING (A)  
 ~ → ØUT 2  
 Ø2 (7,5 5 2⇔7 0⇔7) → RING (B)  
 ~ → ØUT 2  
 Ø3 (4,5 5 2⇔7 7⇔0) ~ → RING (B)  
 FIL (6⇔8 5 7)  
 REV (0⇔5 7)

*contrôle*

DAC 1 → Ø1  
 DAC 2 → Ø2  
 DAC 3 → FILT  
 DAC 4 → REV

## CONCLUSION

Le programme présenté ici est orienté vers la création incluant un dialogue homme-machine satisfaisant. Le langage musical n'est pas chromatique et les notes ne sont pas lues en tables : les séries sont générées en temps réel. Ce programme teste la capacité créative du système. Il est basé sur l'utilisation d'un algorithme générateur de sons. Nous avons été contraint de définir un algorithme simple du fait que le temps-machine impose son propre temps musical. Dès lors, l'écoute directe représente l'immense avantage de permettre aux musiciens de contrôler le fonctionnement et les variations possibles de l'algorithme en temps réel.

Les avantages d'un tel programme sont nombreux :

- \* la génération des classes de sons est directe
  - \* la compréhension de l'inévitable relation entre le temps-machine et le temps réel est immédiate
  - \* la structure itérative de la procédure est mise en évidence lors de son actualisation
  - \* la richesse des interprétations individuelles le définit comme un prototype intéressant
  - \* le désir créatif est aujourd'hui satisfait
- et \* le jeu improvisé sur le dispositif de synthèse est possible.

Du fait qu'il permet d'insister sur l'idée de jouer avec la "lutherie" pendant que le programme exécute l'algorithme de composition, la situation improvisationnelle est restituée : face à la complexité de contrôle du système des signaux d'information sonore le musicien reste maître du système. Sa capacité d'écoute, de sélectivité et d'exécution simultanées, est ainsi préservée. Ce programme est un modèle de dialogue homme-machine, à placer dans la vaste famille des modèles conçus pour la création assistée par ordinateur.

1000	LCI	FF	
1002	DCC		
1003	JFZ	1002	
1006	DCB		
1007	JFZ	1000	
100A	RET		
1020	LLI	50	
1022	LHI	11	
1024	LBI	1A	
1026	LMB		
1027	LLI	51	
1029	LHI	11	
102B	LCI	09	
102D	LMC		
102E	LAI	01	
1030	LDI	08	
1032	LAA		
1033	LAA		
1034	RLC		
1035	LLI	52	
1037	LHI	11	
1039	LMA		
103A	LLI	50	
103C	LMB		
103D	LAB		
103E	NDI	F8	
1040	ØRI	07	
1042	LBA		
1043	LLI	52	
1045	LHI	11	
1047	LAM		
1048	ØUT	0C	
1049	ØUT	0D	
104A	ØUT	0E	
104B	ØUT	0F	
104C	CAL	1000	
104F	LLI	50	
1051	LEM		
1052	LLI	51	
1054	LCM		
1055	DCC		
1056	JTZ	106F	
1059	LLI	51	
105B	LMC		
105C	LLI	52	
105E	LHI	11	
1060	LAM		
1061	DCD		
1062	JFZ	1034	
1065	SUI	01	
1067	JFZ	1030	
106A	DCE		
106B	JFZ	102E	
106E	RET		
106F	LCI	0A	
1071	LLI	51	
1073	LMC		
1074	LLI	50	
1076	LEM		
1077	DCB		
1078	JTZ	107F	
107B	LMB		
107C	JMP	1059	
107F	LLI	56	
1081	LHI	10	
1083	LMI	68	
1085	LLI	57	
1087	LMI	7F	
1089	LLI	58	
108B	LMI	10	
108D	LCI	03	
108F	LLI	51	
1091	LHI	11	
1093	LMC		
1094	LLI	50	
1096	LEM		
1097	INB		
1098	LMB		
1099	LAB		
109A	CPI	1A	
109C	JTZ	10A2	
109F	JMP	1059	
10A2	LLI	57	
10A4	LHI	10	
10A6	LMI	6F	
10A8	LBI	1F	
10AA	LLI	50	
10AC	LHI	11	
10AE	LMB		
10AF	JMP	1059	
10C0	LAI	01	
10C2	LDI	08	
10C4	RLC		
10C5	LLI	BF	
10C7	LHI	10	
10C9	LMA		
10CA	ØUT	0C	
10CB	ØUT	0D	

10CC ØUT 0E  
 10CD ØUT 0F  
 10CE LBI 09  
 10D0 CAL 1000  
 10D3 LLI BF  
 10D5 LHI 10  
 10D7 LAM  
 10D8 DCD  
 10D9 JFZ 10C4  
 10DC ADI 01  
 10DE JFZ 10C2  
 10E1 DCE  
 10E2 JFZ 10C0  
 10E5 RET

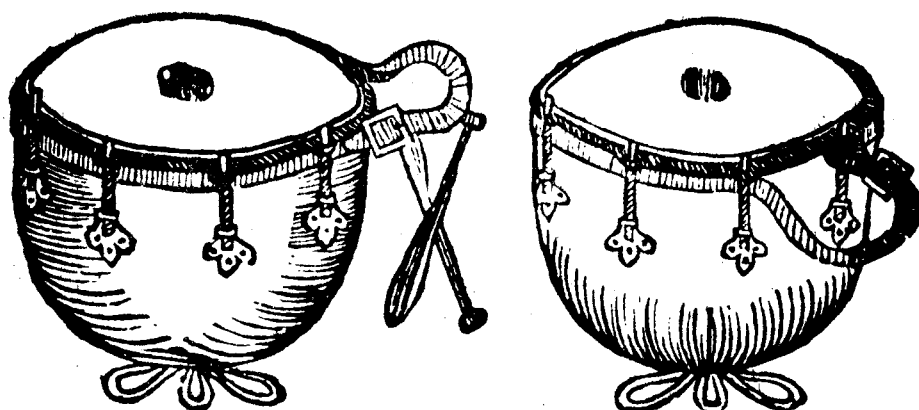
"DEBUT"

10EA LEI 01  
 10EC CAL 10C0  
 10EF LAI 00  
 10F1 ØUT 0C  
 10F2 ØUT 0D  
 10F3 ØUT 0E  
 10F4 ØUT 0F  
 10F5 LBI FF  
 10F7 CAL 1000  
 10FA LEI 01  
 10FC CAL 1020  
 10FF LAI 00  
 1101 ØUT 0C  
 1102 ØUT 0D  
 1103 ØUT 0E  
 1104 ØUT 0F  
 1105 LBI FF  
 1107 CAL 1000  
 110A LEI 01  
 110C LLI C4  
 110E LHI 10  
 1110 LMI 0A  
 1112 LLI CF  
 1114 LHI 10  
 1116 LMI 07  
 1118 CAL 10C0  
 111B LAI 00  
 111D ØUT 0C  
 111E ØUT 0D  
 111F ØUT 0E  
 1120 ØUT 0F  
 1121 LBI FF

1123 CAL 1000  
 1126 LEI 01  
 1128 LLI 25  
 112A LHI 10  
 112C LMI 1F  
 112E LLI 9B  
 1130 LHI 10  
 1132 LMI 1F  
 1134 LLI 57  
 1136 LHI 10  
 1138 LMI 6F  
 113A LLI 65  
 113C LHI 10  
 113E LMI 04  
 1140 CAL 1020  
 1143 LAI 00  
 1145 ØUT 0C  
 1146 ØUT 0D  
 1147 ØUT 0E  
 1148 ØUT 0F  
 1149 LBI FF  
 114B CAL 1000  
 114E HLT

----

\*



## AVERTISSEMENT

Le présent bulletin répond à une visée  
toute didactique: livrer sous une forme  
accessible aux nouveaux venus dans les groupes  
de travail courant:

de l'information technique et  
bibliographique en rapport avec  
leurs disciplines

des programmes commentés de tous niveaux  
permettant un accès rapide à des  
techniques de programmation appropriées,  
ainsi qu'à une implémentation aisée.

On s'est efforcé, dans la plus large  
mesure possible, de ne pas établir de clivage  
trop marqué entre les disciplines intéressées  
(musique arts plastiques poésie logique  
architecture cinéma informatique) mais  
tout au contraire de les unifier, ne serait-ce  
que par des techniques de programmation  
communes.

L'aspect pédagogique d'ARTINFO/MUSINFO  
reflète une préoccupation constante du groupe,  
à savoir ne pas se satisfaire en dernier  
ressort de méthodes de programmation  
trop élémentaires.

ARTINFO/MUSINFO est imprimé au  
Département d'Informatique de l'Université  
PARIS VIII - Vincennes. Grâce en soient rendues  
aux soins diligents de Jacqueline BERTOUT,  
Renée STARY, Philippe PINON,  
à l'équipe des brocheurs habituels.

Pour tous renseignements et composition  
des livraisons à venir, s'adresser à:

Jacques ARVEILLER, Département d'Informatique,  
Université PARIS VIII, Route de la  
Tourelle, 75571 Paris CEDEX 12

Pour tout envoi, s'adresser à Patrick  
GREUSSAY, même adresse.



**ARTINFO / MUSINFO #29**

**UNIVERSITÉ PARIS VIII**

**GROUPE ART & INFORMATIQUE**

**1979**